



R.M.F



وزارت علوم، تحقیقات و فناوری

دانشگاه شهید بهشتی

دانشکده علوم زمین

گروه آموزشی زمین شناسی

پایان نامه جهت اخذ درجه کارشناسی ارشد Sc.M.

رشته زمین‌شناسی - پرولوژی

عنوان

ژئوشیمی و پرولوژ سکانس پوسته‌ای افیولیت‌های خبر -

مروست، شمال غرب شهر بابک

استاد راهنمای

دکتر محمد رهگشای

استاد مشاور

دکتر مرتضی خلعت برقی جعفری

۱۳۸۸/۱۲/۲

نگارنده

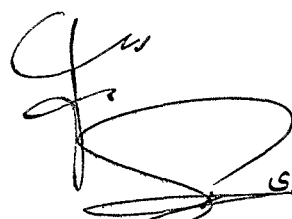
اعظم سلطان محمدی

نیمسال دوم سال تحصیلی ۸۷-۸۸

بسمه تعالیٰ
وزارت علوم ، تحقیقات و فناوری
دانشگاه شهید بهشتی
دانشکده علوم زمین
گروه آموزشی زمین‌شناسی
تأییدیه دفاع از پایان نامه کارشناسی ارشد

این پایان نامه توسط خانم اعظم سلطان محمدی دانشجوی دوره کارشناسی ارشد ناپیوسته

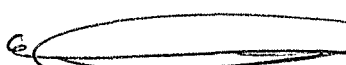
رشته زمین‌شناسی گرایش : پترولوزی در تاریخ ۱۳۸۸/۲۲/۱۶ مورد دفاع قرار گرفت و
براساس رأی هیأت داوران با نمره ۱۹۱/۷۰ و درجه عالی پذیرفته شد.



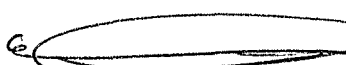
استاتیبد راهنمای: آقای دکتر محمد رهگشای



استاد مشاور: آقای دکتر مرتضی خلعت بری جعفری



استاد داور: آقای دکتر سعید علیرضاei



استاد داور: آقای دکتر فریبرز مسعودی

سفر مرأبه سرزینهای سبز استوایی برد

وزیر سایه آن بانیان سبز توند

چه خوب یادم هست عبارتی که بیلاق ذهن وارد شد:

"و سیچ باش و تنها و سر به زیر و سخت"

..... برای عشق بی دریغ مادرم و صربانی های پدرم

مشکر و سپاس

پورگارم را شکرم که بار دیگر د مسیر زنگی امیدی را برای آغازی و توافقی را برای انجامی، ارزانی داشت.

هر چند کلام در این نہادون برهمند آنان که بیاری ام رسانده اند گریزان است و من نیز نتوان ... از استاد ارجمند جناب آقای دکتر محمد حکشانی پاکزارم که به من نه "ادون" گز کرفتن را آموخته اند "انگار" که کامل را؛ و نه "تسلیم" که فمیدن را آموخته اند "سکوت" را؛ که ترازو ملایم و خویشتن همتر من را به من آموخت که برهمند آدمیان را در خود دارد.

و پسند معلم بزرگوارم، جناب آقای دکتر مرتضی حلست بری که زیباد من آموخت؛ اگر کلام مراد منی بیایی، می‌گذار تا سیده دم دیگری صبر کنیم. اگر در کوری است، پایت به آن سک خوده و به این لیل نفرش کرده ای، می‌گز سرت در آستانه باید ستاره ای برسد، باید ستاره را هم نفرین کنی، می‌بناوی نی فواز چنان کوش بسیار که کویی بهار را می‌شونی، حقیقت زیباراد دکترین کلام بزرگ این بیاور اما حقیقت تئخ را در ییچ کلامی بزرگان نیاور.

در ادامه ...

از آقایان دکتر محمد علی کلی زاده و هندس علی اکبر امامی علی برای تامی مساعدت های بی داشتگان در طول مطالعات صحرایی مشکر کنیم.

از استاد بزرگوارم دکتر سید علیرضا و فریز مسعودی که داوری این پژوهش را به عده داشته و با نظرات خود تکمیل نهایی این کار را برای رسانند، کمال مشکر را می‌نمایم.

از آقایان دکتر یادی شفافی مقدم و ایمان مصفی برای صرفی او لیه محدوده مورود مطالعه نیز مشکر کنیم.

از تامی دوستانم دو مشکده علوم زمین به دیویه خانم این دهستان برای همراهی اش و آجنبین اعضاه گروه کاری زمین ریزکاوان هندسان صارم اینی، احمد حسینجانی و اسد عبدی برای تامی بهمی داشتند بی نهایت پاکزارم.

در پیان و از همه همتر بوسه بر دستان عزیزانم

پدر نادر، یگانه خواهر و برادرانم

می‌زنم که بدون خایت های بی در داشت این پیان به انجام نمی‌رسید ...

اقرار و تعهدنامه

اینجانب اعظم سلطان محمدی دانشجوی مقطع کارشناسی ارشد دانشگاه شهید بهشتی، دانشکده علوم زمین، گروه زمین شناسی، رشته زمین‌شناسی - پرولوژی، پایان نامه حاضر را بر اساس مطالعات و تحقیقات شخصی خود انجام داده و در صورت استفاده از داده‌ها، مأخذ، منابع و نقشه‌ها به طور کامل به آن ارجاع داده‌ام، ضمناً داده‌ها و نقشه‌های موجود را با توجه به مطالعات میدانی - صحرائی خود تدوین نموده‌ام. این پایان نامه پیش از این به هیچ‌وجه در مرجع رسمی یا غیر رسمی دیگری به عنوان گزارش یا طرح تحقیقاتی عرضه نشده است. در صورتی که خلاف آن ثابت شود، درجه دریافتی اینجانب از اعتبار ساقط شده، عواقب و نتایج حقوقی حاصله را می‌پذیرم.

تاریخ ۱۳۸۸/۶/۲۲

امضاء

“Let us listen to the ancient hymn, the spectacular song of the seas, that have saluted so many chains to the light.”

Emile Argand (*Tectonics of Asia*, 1924, 1977)

مجموعه افیولیتی تکتونیزه خبر- مروست با سن کرتاسه پسین، در بخش میانی کمریند افیولیتی نائین- بافت در حاشیه جنوب باختری خرده قاره ایران مرکزی رخنمون دارد. سنگ های درونی این مجموعه شامل هارزبورزیت سرپانتینیتی، گابرو ایزوتروپ، دایک های صفحه ای دیابازی و ترونجمیت است که توسط دایک های دیابازی منفرد و پگماتیت گابرو قطع شده اند. سنگ های خروجی این مجموعه شامل بازالت بالشی، جریان های صفحه ای و برش هیالوکلاستیک است. این سنگ ها با هم بری تکتونیزه در کنار هم قرار گرفته اند.

بررسی نمودار های چند عنصری نرمالیزه نسبت به مقادیر گوشه اولیه، حاکی از غنی شدگی LILE ها و تهی شدگی HFSE ها، به خصوص Nb در تمامی نمونه ها و Ta, Ti در برخی از آن ها است. بررسی نمودار های نرمالیزه از عناصر کمیاب نسبت به کندریت، بیان گرگنی شدگی های مختلف از عناصر LREE ها در مقابل HREE ها است که این خصوصیات قابل مقایسه با افیولیت های مدیترانه ای و مجموعه های مرتبط با محیط های فرورانش است. تمرکز های مختلف از عناصر Nb با مقایسه با افیولیت های مدیترانه ای و مجموعه های مرتبط با محیط های فرورانش است. تمرکز های مختلف از عناصر Ta, Zr, Hf, و عدم ارتباط نسبت های Nb/Ta, Zr/Hf با مقادیر MgO با مقادیر Zr با نسبت های Zr/Hf, نشان گر ذوب بخشی نامتجانس و یا دخالت یک منبع ناهمگن در تشکیل این سنگ ها است.

نسبت Nb/Ta که به عنوان یک اندیس ژئوشیمیابی برای تخمین میزان ذوب بخشی یک مورب گوشه ای تهی شده (DMM) و میزان تهی شدگی به کار می آید، در سنگ های این مجموعه مورد استفاده قرار گرفت. این نسبت ($Nb/Ta = 4.4 - 2.2$) در دایک های پگماتیت گابرویی و کمپلکس دایک های دیابازی صفحه ای از مقدار معمول در یک DMM با نسبت (Nb/Ta=14) که قبل درجات ذوب بخشی را سپری نکرده اند، بسیار کمتر است. نمودار Nb/Ta در مقابل Ta نیز بیان گر منبع DMM با بیش از ۷٪ درجه ذوب بخشی جهت ماقادیر بالاتر (Nb/Ta $21-10, 2$) بیان گر یک منبع بازالت بالشی، جریان صفحه ای، دایک های دیابازی منفرد و ترونجمیت با مقادیر بالاتر (Nb/Ta $10-2$) بیان گر یک منبع DMM با درجات کمتر از ذوب بخشی اند (کمتر از ۵٪). به علاوه بررسی رفتار عناصر متحرک/غیرمتحرک در فاز سیالات/مذاب نیز مؤید این مطلب و بیان گر نقش متفاوت ترکیبات مشتق شده از صفحه فرورونده در تکوین این دسته از سنگ ها است به طوری که نسبت های پایین Th/Ta ($0.5-1.7$) و بالای Ba/Th ($1173-209$) در پگماتیت گابرو و کمپلکس دایک های صفحه ای بیان گر نقش بیشتر سیالات در مقابل نسبت های اندک Ba/Th ($458-458$) و بالاتر Th/Ta ($1.9-16.1$) بیان گر نقش بیشتر ترکیبات مذاب مانند در تشکیل دایک های دیابازی منفرد، ترونجمیت، گدازه های بالشی و جریان های صفحه ای است.

بررسی های زمین شناسی و ژئوشیمیابی این مجموعه نشان از منبع (Source) ناهمگن در تشکیل آن ها بوده که با فرورانش پلیت عربی به زیر خرده قاره ایران مرکزی و در سیستم سوپراسابد اکشن قابل توجیه است.

واژه های کلیدی: افیولیت تکتونیزه، کمریند افیولیتی نائین- بافت، منبع ناهمگن، ذوب بخشی، عناصر متحرک/غیر متحرک، فازهای سیال/مذاب، سیستم های سوپراسابد اکشن.

فهرست مطالب

فصل اول / کلیات

۱	۱-۱ مقدمه
۱	۱-۲ تقسیم بندی افیولیت ها
۷	۱-۳ ضرورت و اهداف انجام مطالعه
۹	۱-۴ تاریخچه مطالعات قبلی
۱۱	۱-۵ موقعیت و مشخصات جغرافیایی محدوده مورد مطالعه
۱۱	۱-۵-۱ موقعیت جغرافیایی و راه های دسترسی
۱۳	۱-۵-۲ آب و هوا و زئومورفولوژی
۱۵	۱-۶ روش مطالعه

فصل دوم / زمین شناسی عمومی

۱۷	۲-۱ افیولیت های ایران
۲۰	۲-۲ کمربند افیولیتی نائین - شهربابک - بافت
۲۱	۲-۳-۱ افیولیت نائین
۲۱	۲-۳-۲ افیولیت شهربابک
۲۲	۲-۳-۳ افیولیت بافت
۲۲	۳-۲ زون ماگمایی ارومیه دختر و رخنمون آن در منطقه
۲۶	۴-۲ زون سنندج - سیرجان و رخنمون آن در منطقه
۲۶	۵-۲ مقایسه مجموعه افیولیتی با یک توالی کامل افیولیتی
۲۸	۶-۲ واحدهای سنگی ماگمایی در مجموعه افیولیتی مورد مطالعه
۲۸	۶-۳ پریدوتیت ها
۳۰	۶-۴ گابروهای ایزوتربوپ
۳۱	۶-۵ پلازیوگرانیت های اقیانوسی

۳۳.....	۶-۴ دایک های مافیک بخش پوسته ای مجموعه افیولیتی
۳۳.....	۶-۴-۱ کمپلکس دایک های صفحه ای
۳۴.....	۶-۲ دایک های دیابازی منفرد
۳۴.....	۶-۵ واحدهای ولکانیکی
۳۶.....	۷-۲ واحدهای رسوبی تشکیل دهنده مجموعه افیولیتی
۳۶.....	۷-۲-۱ سنگ آهک پلاژیک
۳۸.....	۷-۲-۲ رادیولاریت ها
۳۹.....	۷-۳ شیل ها
۳۹.....	۸-۲ سایر واحدهای چینه ای
۳۹.....	۸-۱-۱ فلیش ها
۴۰.....	۸-۲ واحدهای نئوزن
۴۰.....	۸-۳ واحدهای کواترنری
۴۱.....	۹-۲ رخدادهای تکتونیکی
۴۲.....	۱۰-۲ پتانسیل های اقتصادی
۴۳.....	۱۱-۲ نتیجه گیری

فصل سوم / پتروگرافی

۶۰.....	۱-۳ خصوصیات پتروگرافی واحدهای افیولیتی
۷۵.....	۲-۳ انواع سنگی بعد از افیولیت زایی
۸۱.....	۳-۳ تفسیر پدیده ها
۸۹.....	۴-۳ شواهد پتروگرافی و ارتباط آن با فرورانش
۹۲.....	۵-۳ نتیجه گیری

فصل چهارم / ژئوشیمی

۱۱۷.....	۱-۴ نام گذاری نمونه های سنگی در مجموعه افیولیتی مورد مطالعه بر اساس ترکیب شیمیایی
۱۲۰.....	۲-۴ بررسی روند ماقمایی
۱۲۷.....	۳-۴ ویژگی های ژئوشیمیایی افیولیت های مرتبط با مناطق فرورانش
۱۳۰.....	۴-۴ نمودار های چند عنصری نرماییزه نسبت به مقادیر گوشه اولیه و کندریت

۱۳۰.....	۱-۴-۱ ترونجمیت ها
۱۳۳.....	۲-۴-۲ کمپلکس دایک های صفحه ای
۱۳۶.....	۳-۴-۳ واحدهای ولکانیکی
۱۳۹.....	۴-۴-۴ دایک های دیابازی منفرد
۱۴۳.....	۵-۴-۵ دایک های پگماتیت گابرویی
۱۴۳.....	۶-۴-۶ دایک آبساروکیتی
۱۴۶.....	۴-۵ جایگاه تکتونوماگمایی نمونه های مورد بحث
۱۵۳.....	۶-۴ نتیجه گیری

فصل پنجم / پتروژنر

۱۵۴.....	۱-۵ ارتباط پتروژنتیکی واحدهای معرفی شده با محیط های فرورانش
۱۶۱.....	۲-۵ ارتباط الگوی عناصر نادر خاکی با منبع ماقما
۱۶۴.....	۳-۵ نقش فرایند های مرتبط با فرورانش
۱۶۴.....	۴-۳-۱ نقش ترکیبات مختلف ناشی از فرایند فرورانش
۱۷۵.....	۴-۳-۲ نقش درجات مختلف ذوب بخشی در تنوع ماقمایی موجود
۱۸۰.....	۴-۴ ارتباط بین سری های ماقمایی و فرورانش در پتروژنر واحدهای افیولیتی معرفی شده
۱۸۳.....	۵-۵ نتیجه گیری
۱۸۶.....	فصل ششم / نتیجه گیری

منابع

I..... پیوست

فهرست تصاویر

فصل اول / کلیات

..... شکل ۱-۱) مراحل تشکیل افیولیت های نوع تیسی	۳
..... شکل ۱-۲) مراحل تشکیل افیولیت های نوع کوردیلوانی	۴
..... شکل ۱-۳) نقشه تکتونیکی ساده شده از قاره آسیا	۸
..... شکل ۱-۴) نقشه راه های دسترسی به محدوده مورد مطالعه	۱۲
..... شکل ۱-۵) تصویر ماهواره ای از محدوده مورد مطالعه	۱۴

فصل دوم / زمین شناسی عمومی

..... شکل ۲-۱) گسترش کمپلکس های افیولیتی در ایران (Khalatbari-Jafari et al, 2006)	۱۸
..... شکل ۲-۲) موقعیت افیولیت های ایران در رابطه با افیولیت های خاور مدیترانه (Dilek, 2009)	۱۹
..... شکل ۲-۳) تصویر ماهواره ای از محدوده مورد مطالعه و موقعیت آن نسبت به سایر واحدهای زمین شناسی	۲۴
..... شکل ۲-۴) نقشه زمین شناسی شماتیک از محدوده مورد مطالعه در مقیاس ۱:۲۵۰۰۰	۲۵
..... شکل ۲-۵) نقشه زمین شناسی شماتیک از محدوده مورد مطالعه در مقیاس ۱:۱۰۰۰۰	۲۹
..... شکل ۲-۶) تصویر میکروسکوپی از نمونه رادیولاریت های موجود در بین واحدهای آندزیتی	۳۸
..... شکل ۲-۷) تصویر میکروسکوپی از نمونه سنگ آهک پلازیک محتوی فسیل های گلوبوترونکالا آرکا	۳۸
..... شکل ۲-۸) توالی افیولیتی پیشنهادی بر اساس روابط صحرایی	۴۵
..... شکل ۲-۹) محل جدایش واحدهای افیولیتی از واحدهای ولکانیکی جوانتر در دره چاه بنه	۴۶
..... شکل ۲-۱۰) رخمنون دایک های دیابازی منفرد در واحدهای پریدوتیتی در چاه خرما	۴۶
..... شکل ۲-۱۱) رخمنون بلوک های نابرجا از سنگ آهک پلازیک در واحدهای پریدوتیتی	۴۷
..... شکل ۲-۱۲) برش متسلسل از قطعات پریدوتیت، چاه خرما	۴۷
..... شکل ۲-۱۳) گسترش توده های لیسونیتی در دره چاه بنه	۴۸

۴۸.....	شکل ۱۴-۲) نمایی از پچ پگماتیت گابرویی بودینه شده، چاه خرما.....
۴۹.....	شکل ۱۵-۲) نمایی از واحدهای افیولیتی مشکل از پریدوتیت، کمپلکس دایک های صفحه ای، سنگ آهک پلازیک، دره چاه بنه.....
۵۰.....	شکل ۱۶-۲) رخنمونی از توده ترونجمیتی در کنار واحدهای ولکانیکی در بین کمپلکس دایک های صفحه ای، دره چاه بنه.....
۵۰.....	شکل ۱۷-۲) رخنمون بلوک های ولکانیکی در بین دایک های صفحه ای در دره چاه بنه.....
۵۱.....	شکل ۱۸-۲) نمایی از برش های ولکانیکی در دره چاه بنه
۵۲۰.....	شکل ۱۹-۲) رخنمون دایک آندزیتی در توده ترونجمیتی
۵۳.....	شکل ۲۰-۲) رخنمون وسیعی از جریان های صفحه ای آندزیتی در ارتفاعات چهل گله با.....
۵۳.....	شکل ۲۱-۲) تشکیل پیزولیت های منگنز دار همراه با سنگ آهک پلازیک، چاه بنه.....
۵۴.....	شکل ۲۲-۲) مورفولوژی تیه ماهوره ای از کمپلکس دایک های صفحه ای در تماس گسله با سنگ آهک پلازیک، تل چهل ملک.....
۵۴.....	شکل ۲۳-۲) همبری عادی دایک های صفحه ای و گدازه های بازالتی، تل چهل ملک.....
۵۵.....	شکل ۲۴-۲) رخنمون گدازه ای بالشی در تل سرخ و پوشش آن ها توسط رادیولاریت ها.....
۵۶.....	شکل ۲۵-۲) رخنمون رادیولاریت ها به صورت میان لایه ای داخل جریان های صفحه ای آندزیتی، تل سرخ.....
۵۶.....	شکل ۲۶-۲) پوشش جریان های صفحه ای آندزیتی با تماس عادی توسط رادیولاریت ها ، تل سرخ.....
۵۷.....	شکل ۲۷-۲) تزریق پلازیوگرانیت ها در واحدهای گابرویی و تشکیل برش های گابرویی.....
۵۷.....	شکل ۲۸-۲) رخنمون دایک های پگماتیت گابرویی منفرد در واحدهای پریدوتیتی، کوه تل سرخ.....

فصل سوم / پتروگرافی

۵۹	شکل ۳-۱) تقسیم بندی انواع سنگ های موجود در مجموعه افیولیتی مورد مطالعه بر اساس مطالعات پتروگرافی
۹۳	شکل ۳-۲) مراحل مختلف فرورانش در یک صفحه فروورنده و ارتباط محیط های کششی ایجاد شده با رگجه های موازی و منقطع
۹۷	تابلو ۱) تصاویر میکروسکوپی از واحدهای ولکانیکی متعلق به بعد از افیولیت زانی
۹۹	تابلو ۲) تصاویر میکروسکوپی از واحدهای ولکانیکی متعلق به بعد از افیولیت زانی

..... ۱۰۱	تابلو ۳) تصاویر میکروسکوپی از واحدهای ولکانیکی متعلق به بعد از افیولیت زایی
..... ۱۰۳	تابلو ۴) تصاویر میکروسکوپی از توده های نقوذی واحدهای افیولیتی
..... ۱۰۵	تابلو ۵) تصاویر میکروسکوپی از توده های نقوذی از واحدهای افیولیتی
..... ۱۰۷	تابلو ۶) تصاویر میکروسکوپی از توده های نقوذی از واحدهای افیولیتی
..... ۱۰۹	تابلو ۷) تصاویر میکروسکوپی از انواع دایک ها و بلوک های موجود در مجموعه افیولیتی
..... ۱۱۱	تابلو ۸) تصاویر میکروسکوپی از انواع دایک های دیابازی منفرد و کمپلکس دایک های صفحه ای
..... ۱۱۳	تابلو ۹) تصاویر میکروسکوپی از واحدهای ولکانیکی متعلق به مجموعه افیولیتی
..... ۱۱۵	تابلو ۱۰) تصاویر میکروسکوپی از واحدهای ولکانیکی متعلق به مجموعه افیولیتی

فصل چهارم / ژئوشیمی

..... ۱۱۷	شکل ۱-۴) علامه کارفته در نمودارهای مختلف جهت تفکیک نمونه های مورد بحث
..... ۱۱۹	شکل ۲-۴) نمودار SiO_2 در مقابل Zr/TiO_2 (Floyd and Winchester, 1978)
..... ۱۱۹	شکل ۳-۴) نمودار $\text{Na}_2\text{O}+\text{K}_2\text{O}$ در مقابل SiO_2 (Le bas et al., 1986)
..... ۱۲۰	شکل ۴-۴) نمودار Th در مقابل Co به منظور نامگذاری و تعیین سری ماگمایی واحدهای سنگی (Hastie et al., 2007)
..... ۱۲۳	شکل ۴-۵) نمودارهای دوتایی اکسیدهای اصلی در مقابل اکسید منیزیم در نمونه های مورد مطالعه
..... ۱۲۴	شکل ۶-۴) نمودارهای دوتایی عناصر کمیاب در مقابل اکسید منیزیم در نمونه های مورد مطالعه
..... ۱۳۰	شکل ۷-۴) مقدار عدد کرم اسپینل ها در پریدوتیت های محیط های مختلف تکتونیکی (After Dick and Bullen, 1984)
..... ۱۳۲	شکل ۸-۴) نمودار چند عنصری نمونه ترونجمیتی، نرمالایز شده نسبت به مقادیر گوشه اولیه (Sun and McDonough, 1989)
..... ۱۳۲	شکل ۹-۴) نمودار عناصر نادرخاکی نمونه ترونجمیتی، نرمالایز شده نسبت به مقادیر کندریت (Sun and McDonough, 1989) و مقایسه آن با روند عمومی E-MORB
..... ۱۳۵	شکل ۱۰-۴) نمودار چند عنصری کمپلکس دایک های صفحه ای نرمالایز شده نسبت به مقادیر گوشه اولیه (Sun and McDonough., 1989)

- شکل ۱۱-۴) نمودار عناصر نادر خاکی نمونه کمپلکس دایک های صفحه ای، نرمالایز شده نسبت به مقادیر کندریت ۱۳۵ N-MORB (*Sun and McDonough, 1989*) و مقایسه آن با روند *Sun and McDonough, 1989*
- شکل ۱۲-۴) نمودار جند عنصری نمونه های ولکانیکی، نرمالایز شده نسبت به مقادیر گوشه اولیه (*Sun and McDonough, 1989*) ۱۳۸
- شکل ۱۳-۴) نمودار عناصر نادر خاکی نمونه های ولکانیکی، نرمالایز شده نسبت به مقادیر کندریت (*Sun and E-MORB, N-MORB, IAB McDonough, 1989*) و مقایسه آن ها با روند *McDonough, 1989* ۱۳۸
- شکل ۱۴-۴) نمودار چند عنصری دایک های دیابازی منفرد ، نرمالایز شده نسبت به مقادیر گوشه اولیه (*Sun and McDonough, 1989*) ۱۴۱
- شکل ۱۵-۴) نمودار عناصر نادر خاکی نمونه دایک های دیابازی منفرد، نرمالایز شده نسبت به مقادیر کندریت (*Sun and McDonough, 1989*) ۱۴۱ و تشابه آن ها با روند عمومی *and McDonough, 1989*
- شکل ۱۶-۴) نمودار چند عنصری نمونه دایک کوارتز دیوریتی- کوارتز مونزو دیوریتی نرمالایز شده نسبت به مقادیر گوشه اولیه (*Sun and McDonough, 1989*) ۱۴۲
- شکل ۱۷-۴) نمودار عناصر نادر خاکی نمونه دایک کوارتز مونزو دیوریتی- کوارتز دیوریتی نرمالایز شده نسبت به مقادیر کندریت (*Sun and McDonough, 1989*) ۱۴۲
- شکل ۱۸-۴) نمودار چند عنصری نمونه دایک های پگماتیت گابرویی منفرد، نرمالایز شده نسبت به مقادیر گوشه اولیه (*Sun and McDonough, 1989*) ۱۴۴
- شکل ۱۹-۴) نمودار عناصر نادر خاکی نمونه دایک های پگماتیت گابرویی منفرد، نرمالایز شده نسبت به مقادیر کندریت (*Sun and McDonough, 1989*) ۱۴۴
- شکل ۲۰-۴) نمودار چند عنصری نمونه دایک آبساروکیتی، نرمالایز شده نسبت به مقادیر گوشه اولیه (*Sun and McDonough, 1989*) ۱۴۵
- شکل ۲۱-۴) نمودار عناصر نادر خاکی نمونه دایک آبساروکیتی، نرمالایز شده نسبت به مقادیر کندریت (*Sun and McDonough, 1989*) ۱۴۵ و مقایسه آن با روند *OIB McDonough, 1989*
- شکل ۲۲-۴) نمودار Zr/Y در مقابل Zr/Y برای تفکیک بازالت ها بر اساس جایگاه تکتونیکی (*Pearce and Norroy, 1979*) ۱۴۸
- شکل ۲۳-۴) نمودار سه تایی $Hf-Th-Ta$ (*Wood, 1979*) جهت تفکیک انواع بازالت ها بر اساس محیط تکتونیکی ۱۴۹
- شکل ۲۴-۴) انواع نمودار های سه تایی عناصر کمیاب به منظور تفکیک بازالت ها در محیط های تکتونوماگمایی مختلف ۱۵۰

فصل پنجم / پتروژنز

- شکل ۲۵-۴) نمودار Nb/Th در مقابل Y (after Jenner et al., 1991) ۱۵۱
- شکل ۲۶-۴) نمودار V در مقابل Ti (after Shervais, 1982) ۱۵۲
- شکل ۳۷-۴) نمودار تفکیک محیط تکتونیکی بر اساس مقادیر $V-Ti$ و نقش فوگاسیته اکسیژن بر محیط (after Shervais, 1982) ۱۵۲
-
- شکل ۱-۵) تصویر شماتیک از سیستم های فروراش داخل اقیانوسی و نقش منابع مختلف در مئشه ماغما (Hawkin, 2003) ۱۵۶
- شکل ۲-۵) نمودار Th/Yb در مقابل Ta/Yb (Pearce et al., 1982) ۱۵۸
- شکل ۳-۵) نمودار نسبت های Th/Nb در مقابل Ce/Nb (after Saunders and Tarney, 1991) ۱۶۰
- شکل ۴-۵) تاثیر ذوب بخشی با توجه به منابع گوشته ای مختلف بر میزان تمرکز عنصر نادر خاکی ۱۶۳
- شکل ۵-۵) هیستوگرام نسبت های Th/Ta در نمونه های موجود در مجموعه افیولیتی ۱۶۶
- شکل ۶-۵) هیستوگرام نسبت های Ba/Th در نمونه های موجود در مجموعه افیولیتی ۱۶۶
- شکل ۷-۵) هیستوگرام نسبت های W/Th در نمونه های موجود در مجموعه افیولیتی ۱۶۷
- شکل ۸-۵) هیستوگرام نسبت های Nb/Ta در نمونه های موجود در مجموعه افیولیتی ۱۶۷
- شکل ۹-۵) نمودار دوتایی نسبت W در مقابل MgO ۱۷۰
- شکل ۱۰-۵) نمودار نسبت Ta/W در مقابل Ta ۱۷۱
- شکل ۱۱-۵) نمودارهای دوتایی نسبت های W/Th , W/U , $Th/Ce/Pb$, ۱۷۲
- شکل ۱۲-۵) نسبت W/Ba در مقابل مقدار Ba ۱۷۳
- شکل ۱۳-۵) نمودار Ba/Th در مقابل Th به منصور دخالت ترکیبات مختلف در محیط های فروراش (Munker et al., 2004) ۱۷۴
- شکل ۱۴-۵) نمودار W/Th در مقابل Zr/Hf ۱۷۴
- شکل ۱۵-۵) نمودار تغییرات Zr/Hf و Nb/Ta در مقابل MgO ۱۷۶
- شکل ۱۶-۵) تغییرات درجات تهی شدگی با تغییرات Zr-Hf (Konig et al, 2008) ۱۷۷

- شکل ۱۷-۵) نمودار Nb/Ta در مقابل Ta به منظور محاسبه درجات مختلف ذوب بخشی در یک منبع گوشته ای تهی شده (Caulfield et al., 2008) ۱۷۹
- شکل ۱۸-۵) نمودار ارتباط بین درجات تهی شدگی در منشاء ماسه و مقدار Nb/Ta در نمونه های مرتبط با مجموعه افیولیتی (Caulfield et al., 2008) ۱۸۰
- شکل ۱۹-۵) تصویر شماتیک از سری های ماسه مایی مختلف و منشاء ولکانیسم های مربوط به مناطق کمانی از مراحل ابتدائی تا بلوغ (Haragushi et al., 2008) ۱۸۱
- شکل ۲۰-۵) مدل تکتونوماسه مایی ارائه شده برای تکامل حوزه فروزانش اقیانوس نئوتیس در مدیترانه (Dilek., 2009) ۱۸۴
- شکل ۲۱-۵) روند تکامل ماسه تشکیل دهنده واحدهای مختلف مجموعه افیولیتی مورد مطالعه در ارتباط با محیط فروزانش ۱۸۵

پیوست

- شکل A.1) نقشه زمین شناسی شماتیک از محدوده مورد مطالعه و موقعیت نمونه های برداشت شده پیوست

فهرست جداول

فصل اول / کلیات

جدول ۱-۱ مشخصات افیولیت های نوع تیسی و کوردیلرایی ۵

جدول ۲-۱ تقسیم بندی انواع افیولیت ها و خصوصیات مختلف آن ها ۶

فصل سوم / پتروگرافی

جدول ۳-۱ خلاصه ای از خصوصیات پتروگرافی واحدهای افیولیتی ۹۴

جدول ۳-۲ خلاصه ای از خصوصیات پتروگرافی واحدهای سنگی متعلق به بعد از فرایند های افیولیت زایی ۹۵

فصل چهارم / ژئوشیمی

جدول ۴-۱ مشخصات و نتایج حاصل از آنالیز کل سنگ در نمونه های مورد مطالعه ۱۲۶

فصل پنجم / پتروژئنز

جدول ۵-۱ نسبت های محاسبه شده در نمونه های مورد آنالیز شیمیایی در این مطالعه ۱۶۸

جدول A.1 فهرست نمونه های مورد مطالعه به همراه موقعیت و محل نمونه برداری پیوست

جدول A.2 مشخصات کانیایی و ساختاری نمونه های مورد مطالعه پیوست

فصل اول مقدمه

CHAPTER ONE INTRODUCTION

فصل اول

کلیات

۱-۱ مقدمه

مطالعه افیولیت‌ها به عنوان بخشی از لیتوسفر اقیانوسی می‌تواند اطلاعات ارزشمندی در رابطه با تکامل پوسته اقیانوسی ارائه نماید. علاوه بر این، مطالعه این سنگ‌ها می‌تواند اطلاعات ارزشمندی در رابطه با تحول ماقمای مادر در این سنگ‌ها و خاستگاه تکتونوماگمایی افیولیت‌ها ارائه دهد.

واژه "افیولیت" نخستین بار در سال ۱۸۱۳ توسط Brongniart کانی شناس فرانسوی به کار رفت. مفهوم افیولیت نیز در اوایل قرن ۱۹ در اروپا به نحو گسترده‌ای مطرح شد و به دنبال آن مطالعات گسترده‌ای در این زمینه صورت گرفت. در نهایت در سال ۱۹۷۲ در کنفرانس پنروز (penrose conference) تعریفی جامع از آن ارائه گردید. بر اساس این تعریف، افیولیت‌ها بقایایی از پوسته اقیانوسی قدیمی‌اند و محیط تشکیل آن را مختص به پشت‌های میان اقیانوسی فرض نمودند. طی سال‌های ۱۹۹۰-۱۹۸۰ مطالعات ژئوشیمیایی این دیدگاه را تغییر داد و حضور ماقمایی تحول یافته را در ارتباط با حوزه‌های فرورانش پیشنهاد نمود که منجر به تعریف افیولیت‌های مرتبط با زون‌های فرورانش ("Supra-subduction type ophiolites") شد (Dilek, 2003). با توجه به این تعریف، از طرفی با در نظر گرفتن عواملی مانند سیالات مشتق شده در نواحی فرورانش و تاریخچه ذوب در ماقمای سازنده افیولیت‌ها، جایگاه تشکیل افیولیت‌ها علاوه بر پشت‌های میان اقیانوسی در محیط‌های فرورانش مانند جلوکمان، کمان‌های اولیه (Embryonic arc) و پشت کمان نیز معرفی شده‌اند.

با توجه به دیدگاه‌های مختلف، تقسیم بندی‌های گوناگونی در مورد افیولیت‌ها ارائه شده است. در ادامه به مستندترین و رایج‌ترین تقسیم بندی‌های ارائه شده، اشاره می‌شود.

۱-۲ تقسیم بندی افیولیت‌ها

به طور کلی افیولیت‌ها بر اساس دیدگاه‌های مختلفی تقسیم بندی شده‌اند. به عنوان مثال Moores (1982) افیولیت‌ها را بر اساس ساختارهای درونی به انواع افیولیت‌های تیتیسی و کوردیلرایی تقسیم نموده است. تفاوت بین انواع افیولیت‌های تیتیسی و کوردیلرایی می‌تواند به دلیل تفاوت در مراحل تکاملی افیولیت‌های مذکور (شکل ۱، ۲-۱) در زمان تشکیل آن‌ها